

## コンクリート基礎体の加振実験と地震時応答観測結果

東京電力 技術開発研究所 野口俊郎

前田 弘

○ 横口潤一

## 1. まえがき

構造物の地震応答は基礎体とこれを支持している地盤からの影響が大きい。この応答を求めるのに必要な地盤を含めた基礎体の動的地盤反力係数や減衰定数のとり方にに関する研究は機械基礎の必要から行なわれたものが多々あるが、地震時の基礎の挙動に肉する研究もこれと同様な手法で行なわれている場合が多いようである。しかし機械基礎のように上部から外力が伝達される場合と地盤ごとゆすぶられる場合とでは同一基礎地盤系であってもその応答が異なる可能性があり、現在各所で検討されている。本報告は東京電力技術開発研究所において電力機器用基礎に使用されている実物大基礎体(種類(底面積 $1.50 \times 10^3 \text{ cm}^2$ 、重量 $53.6 \times 10^3 \text{ kg}$ )を地盤上に作成し、これに起振機を据付けて加振実験を行なうと共に、この基礎体について地震応答観測を行ない、加振実験と場合と地震動による場合の動地盤反力係数や減衰定数について比較検討を行なったのでその結果を報告するものである。

## 2. 地盤とコンクリート基礎体

2.1 実験場の地質 実験場は東京都調布市西つじヶ丘東京電力KK技術開発研究所構内で、付近一帯の地盤は図1のボーリング柱状図に示すように約7mの一定層厚を持つフローム層である。

2.2 コンクリート基礎体 実験に使用した基礎体の大きさを図2に、その諸元を表1に示す。基礎体は実験場の表土部分を約1m削り、不搅乱ローム層を露出せしめ、コンクリートを直接打設して作成した。

3. 加振実験 実験に使用した起振機の性能は表2に示すとおりであり、実験は加振力一定として行なった。加速度計と土圧計の設置箇所は図2に示すとおりである。この基礎の上下方向と水平方向加振時の共振曲線の一例を図4に、土圧分布の一例を図5に示す。共振時の基礎体天端と下端の変位全振巾、振動数を表3に示す。

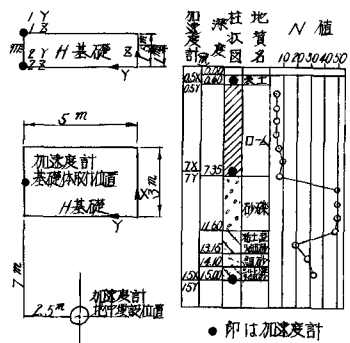
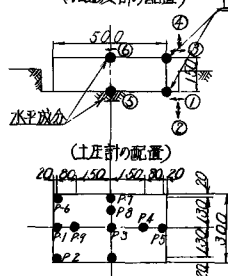
表1 H基礎の諸元

A	底面積 ( $\text{cm}^2$ )	15,000
W	重量 ( $\text{kg}$ )	53,600
m	質量 ( $\text{kg sec}^2/\text{cm}$ )	54,73
l	重心位置 ( $\text{cm}$ )	79.7
J <sub>g</sub>	慣性モーメント ( $\text{kg m}^2$ )	12,360
J <sub>b</sub>	底面や船底の慣性モーメント ( $\text{kg m}^2$ )	15,250
I <sub>b</sub>	底面の断面二次モーメント ( $\text{cm}^4$ )	31,250
J <sub>b/m</sub>	$J_b/m$	22,580
J <sub>b/m</sub>	$J_b/m$	28,330

表2 起振機の性能

起振力モーメント ( $\text{kg m}$ )	4,000
振動数範囲 (Hz)	0~15
最大起振力 (kg)	10,000
起振方向	上下・水平
重量 (kg)	1,800

図1 ボーリング柱状図より加速度計設置位置

図2 H基礎の大きさ(左)ひずみ計器設置箇所  
(加速度計の配置) 上下水平成分

4. 動地盤反力係数の算定 共振振動数、初速度振巾を実験で求め変位振巾を加速度振巾から換算し、たわみをばね支持の式より算出するものとした。上下方向振動および並進、回転を伴うばね支持のロッキング振動をモデル化して一般に図3に示すように画かれる。上下振動は図3(a)に示す振動モデルにより実測共振振動数 $\omega_r$ を使用し、ばね定数 $k_r$ と地盤反力係数 $K_r$ を求める式を(1)式とする。

$$\omega_r = \sqrt{k_r/m} \quad K_r = k_r/A \quad (1)$$

図3(b)に示すロッキング振動モデルの固有振動式は(2)式で与えられる。この式に実測共振振動数を用いて、ばね定数を求めることができると、この場合 $K_r/k_r$ は一般に(3)式で求めた値を使用する。

$$\omega_r^2/m = \frac{1}{2} \left\{ 1 + \frac{c_1^2}{k_r^2} + \frac{c_2^2}{k_r^2} - \sqrt{\left( 1 + \frac{c_1^2}{k_r^2} + \frac{c_2^2}{k_r^2} \right) - \frac{4c_1 c_2}{k_r^2}} \right\} \quad (2)$$

$$K_r = \omega_r^2 m \left\{ 1 + \frac{H_A}{H_T} \left( \frac{Y_T}{Y_B} - 1 \right) \right\} \quad (3)$$

$$K_B = \omega_r^2 J_B \left\{ 1 + \frac{H_A H_T}{J_B^2} \left( \frac{1}{Y_T Y_B} - 1 \right) \right\}$$

$$K_H = k_r^2/A, \quad K_B = k_B^2/J_B$$

実測共振振動数および変位振巾を使用して、動的地盤反力係数を算定すると、(1)式の値は $K_r = 122 \sim 144 \text{ kN/cm}$ 、(2)式の値は $K_B = 2.93 \sim 3.51 \text{ kN/cm}$ 、 $K_H = 1.70 \sim 1.92 \text{ kN/cm}$ 、(3)式の値は $K_B = 3.01 \sim 3.22 \text{ kN/cm}$ 、 $K_H = 1.67 \sim 1.96 \text{ kN/cm}$ となる。

## 5. コンクリート基礎体と地盤の地震時応答観測

地盤とコンクリート基礎体の地震時における相互作用を検討する目的で前述のH基礎とこれより約7m離れた位置の地中0.5m、1mならびに15mにそれぞれ加速度計を設置し、昭和45年9月30日、多摩川河口付近で発生した地震S<sub>1</sub>(震源の深さ50km、規模(マグネチュード)4.5)と昭和45年10月31日茨城県南西部に発生した地震S<sub>2</sub>(震源深さ10km)の2種類の地震応答観測を行なった。加速度計は(株)東京測振製TM型であり、その配置は図1に示すとおりである。なおこの地盤に径75mmのボーリングをして、この孔中に換振器をおとし、換振器の深度を順次変えて地表での板天大きとい打ちにより発振した弾性波の伝播速度を求め、これより地盤の弾性定数を求め、その結果を表3に示す。

図7、8に地震S<sub>1</sub>とS<sub>2</sub>による地盤Y方向の応答記録を実験で示す。図9、10に基礎体の応答記録を示す。

図3 振動モデル

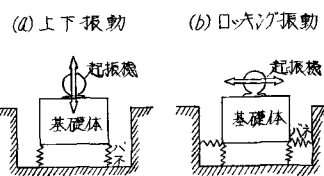


図4 变位共振曲線

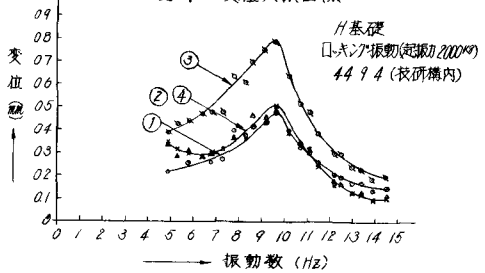


図5 土圧分布

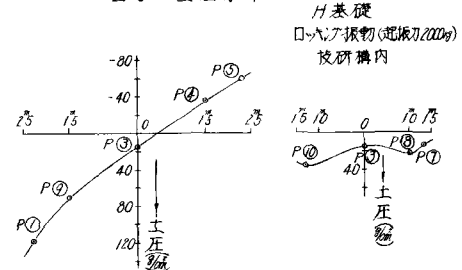


図6 变位共振曲線

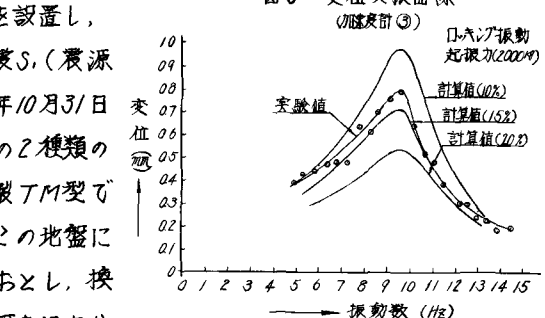


表3  $V_p$ ,  $V_s$ ,  $V$  および  $E$

記号	単位	ローム		砂, 砂	
		J <sub>r</sub>	d <sub>r</sub>	J <sub>r</sub>	d <sub>r</sub>
$V_p$	m/s	440	2,200	1	10 <sup>4</sup> 0.19 9.6 0.08 9.4 0.75
$V_s$	m/s	184	320	2	0.22 0.51 0.75
$V$		0.39	0.49	3	0.31 0.74 1.19
$E$	kg/cm <sup>2</sup>	449	1,900	4	0.24 0.51 0.75
				5	0.27 0.62 0.93
				6	0.33 0.80 1.33

表4 共振時の地盤の変位共振曲線

記号	起振力	地盤		基礎	
		J <sub>r</sub>	d <sub>r</sub>	J <sub>r</sub>	d <sub>r</sub>
1	10 <sup>4</sup>	0.19	9.6	0.08	9.4
2		0.22	0.51		0.75
3		0.31	0.74		1.19
4		0.24	0.51		0.75
5		0.27	0.62		0.93
6		0.33	0.80		1.33

## 6 考察

### 6.1 地盤の応答観測値と計算値の比較

(1) 理論計算方法 地盤の応答計算は波動式を基本とした解法によった。この解法は次に示すように速度に比例する減衰項をもつてあり、材料内部の減衰性はこれで代表されるものと考えていい。

$$\left. \begin{aligned} \rho \frac{\partial^2 u}{\partial x^2} + C_x \frac{\partial u}{\partial x} &= (\lambda + \mu) \frac{\partial^2 u}{\partial x^2} + \mu V^2 u + p_x, \\ \rho \frac{\partial^2 u}{\partial y^2} + C_y \frac{\partial u}{\partial y} &= (\lambda + \mu) \frac{\partial^2 u}{\partial y^2} + \mu V^2 u + p_y \end{aligned} \right\} \quad (4)$$

$$\rho \frac{\partial^2 u}{\partial z^2} + C_z \frac{\partial u}{\partial z} = (\lambda + \mu) \frac{\partial^2 u}{\partial z^2} + \mu V^2 u + p_z$$

ここに  $\Delta = \frac{\partial^2 u}{\partial x^2} + \frac{\partial^2 u}{\partial y^2} + \frac{\partial^2 u}{\partial z^2}$ ,  $V = \sqrt{\frac{\partial^2 u}{\partial x^2} + \frac{\partial^2 u}{\partial y^2} + \frac{\partial^2 u}{\partial z^2}}$ ;  $u$ ,  $v$ ,  $w$  は  $x$ ,  $y$ ,  $z$  方向の変位;  $x$ ,  $y$ ,  $z$  は各方向の単位重量に働く力;  $\lambda$ ,  $\mu$  は Lamé の定数;  $C_x$ ,  $C_y$ ,  $C_z$  は各方向の減衰定数;  $\rho$  は弾性体の密度を表す。応答は地盤  $S_1$  および  $S_2$  とも地盤/15m で記録した  $Y$  方向の成分を入力として、 $7Y$  および  $45Y$  の位置のものを算出し、同位置で記録した  $Y$  方向の地震記録と比較した。

(2) 観測値との比較 図 7, 8 に観測値と計算値を比較した応答波形を示す。応答計算に使用した諸定数は表 3 に示す値とし、減衰定数は  $\alpha = 5\%$  と仮定した。その結果両者は比較的良い一致を示した。

### 6.2 コンクリート基礎体の応答観測値と計算値の比較

(1) 理論計算方法 コンクリート基礎体の重心回りの運動方程式は(5)式で表わすことができる。

$$\left. \begin{aligned} m \ddot{y} + C(\dot{y} - d\dot{\theta}) + k_H(y - d\theta) &= P_1, \\ J_H \ddot{\theta} + C_\theta \dot{\theta} + k_\theta \theta - Cd(\dot{y} - d\dot{\theta}) - k_Hd(y - d\theta) &= P_2 \end{aligned} \right\} \quad (5)$$

$P_1$ ,  $P_2$  は外力であり、外力  $P_1$  は前述  $45Y$  の地震記録  $S_1$ ,  $S_2$  を入力として基礎体天端と下端の水平方向の応答を計算し、観測値と比較した。

(2) 観測値との比較 図 9, 10 に地震  $S_1$ ,  $S_2$  による基礎体の観測値と計算値を比較した応答波形を示す。この場合ばね定数を算定する  $k_H$  は前述の加振実験で求めた  $P = 2t$ ,  $K_{H0} = 3.22 \text{ kN/mm}$ ,  $K_H/k_{H0} = 0.61$  を使用した。また減衰定数は図 4 の実測共振曲線より 1/2 点の減衰定数は  $\alpha = 15 \sim 20\%$  であったが、一方これを検討するため実測  $k_H$  を使用して(5)式より基礎体の変位共振曲線を求め実測のそれと比較した。その結果は図 6 に示すとおり  $\alpha = 13\%$  程度で実測共振曲線に近いものとなった。計算には  $\alpha = 15\%$  を使用した。その結果両者は比較的良い一致を示した。また半無限弾性地盤上における剛体の上下方向振動時の解である(6)式より  $k_H$  を求めると  $k_H = 4.31 \text{ kN/mm}$  となる。

$$k_H = \frac{4\pi^2}{T^2} / (1 - \nu), \quad a = \sqrt{BL^3/\pi} \quad (\text{上下方向振動時基礎底面の等価半径}) \quad (6)$$

一方加振実験で得られた値を使用し、(6)式より  $k_H$  を求めると前述のとおり  $k_H = 1.22 \sim 1.44 \text{ kN/mm}$  である。

ロッキング振動時の  $k_H$  は前述の土圧分布が三角形に近いことから(6)式より  $k_H$  を求めると  $k_H = 5.85 \text{ kN/mm}$  である。一方実測値を使用して(3)式より  $k_H$  を求めると  $k_H = 3.01 \sim 3.22 \text{ kN/mm}$  である。

$$k_H = \frac{4\pi^2}{T^2} / (I_B(1 - \nu)), \quad a = \sqrt{BL^3/\pi} \quad (\text{ロッキング振動時基礎底面の等価半径}) \quad (7)$$

弾性波試験より得られた  $k_H$  を使用して求めた  $k_H$ ,  $k_H$  より基礎体の固有振動数を算出すると、加振実験よりえられた値と一致しない。

## 7 あとがき

この報告は小さな地震例2個について検討したものであり、引き続き地震応答観測を行なってい。

図 7 地震 S1 (東洋 多摩川河口附近 発生年月日 45.9.30)  
試験槽内 地盤の地震応答

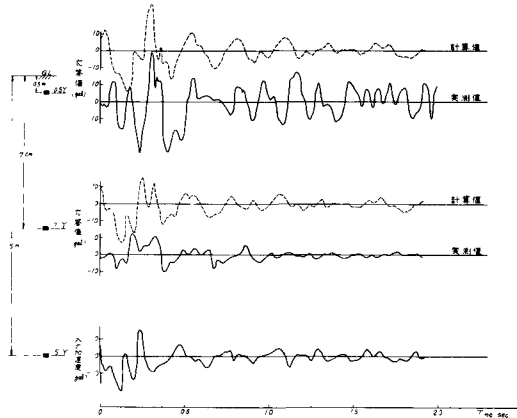


図 8 地震 S2 (東洋 宮崎県西側 発生年月日 45.10.30)  
試験槽内 地盤の地震応答

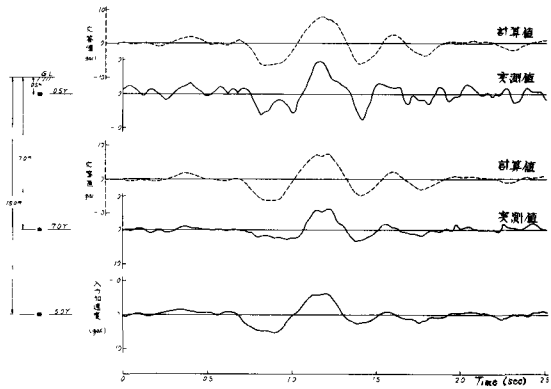


図 9 地震 S1 (東洋 多摩川河口附近 発生年月日 45.9.30)  
試験槽内 H基礎の地震応答

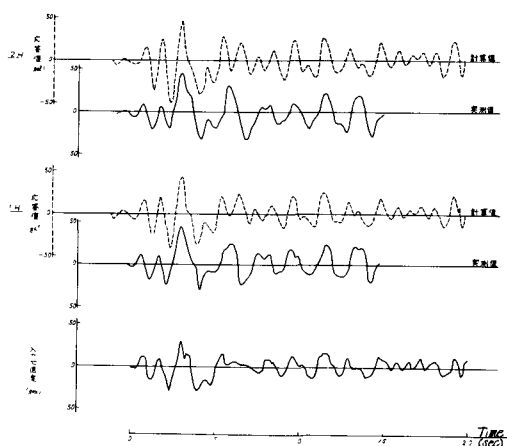
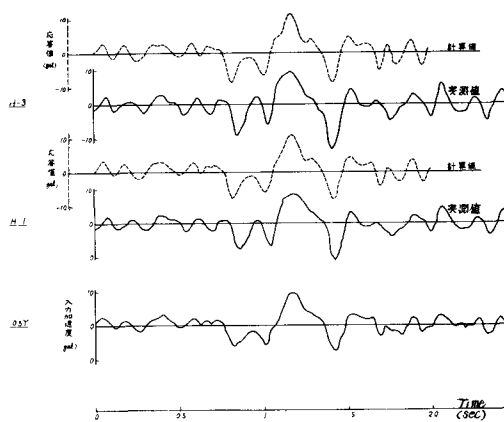


図 10 地震 S2 (東洋 宮崎県西側 発生年月日 45.10.30)  
試験槽内 H基礎の地震応答



註(1) 土木学会 第25回年次学術講演会講演集第3部 (動的地盤反力係数)

註(2) 建築振動学 ユロカ社

註(3) Japan Earthquak. Engineering Symposium - 1970

(地盤、構造物の動特性に関する波動式による一解法)